

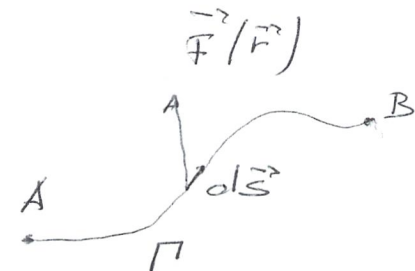
Visto lavoro di forza

$$W_{AB} = \int_A^B \vec{F} \cdot d\vec{s}$$

$$\vec{F} = \vec{F}(x, y, z)$$

per chi non ama  $\int$

$$W_{AB} = \sum_{i=1}^n \vec{F}_i \cdot \Delta \vec{s}_i$$



attenzione qui non necessar.  $\vec{F}(x, y, z)$

$W_{AB}$  dipende in generale da traiettoria  $\Gamma$

- abbiamo visto esempio di  $\vec{F}$  fatto in cui  $W$  è prop. a lung. traiettoria:  $\mu_0 N \cdot l$
- lavoro di forza viscosa dip. da vel. lungo traiettoria  
vista?  $\vec{F}_v = -\eta \vec{v}$

Sono esempi di  $\vec{F}$  non dip. da posizione.

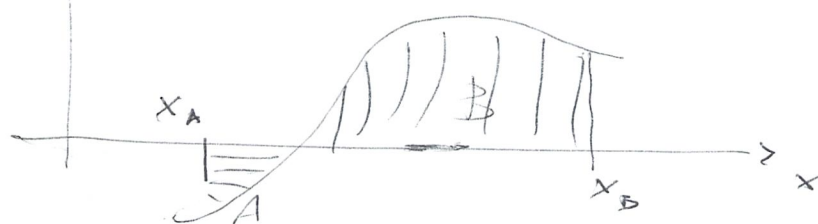
Potrei allora pensare che lavoro non dip. da traiettoria. È vero in 1-dim

$$\int_{x_A}^{x_B} F(x) dx = U(x_B) - U(x_A)$$

$$\text{con } F(x) = \frac{dU}{dx}$$

non impiegherebbe se lungo il percorso  $x_A \rightarrow x_B$  lascia un po' di andirivieni

$$F(x)$$



$\int$  è area B - area A

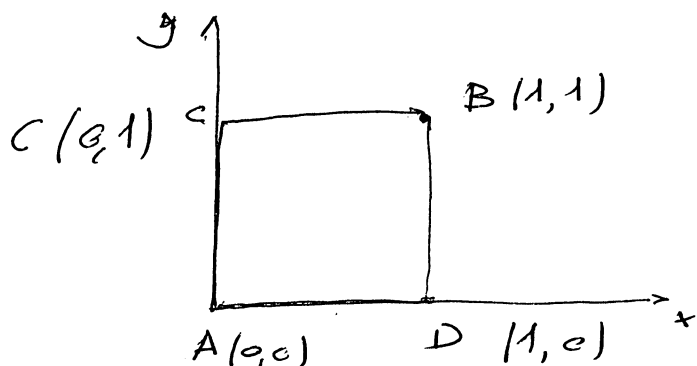
ma in 2 e più dimensioni

questo in generale non è vero in  $\geq 2$ -dim

Ad esempio :  $\vec{F}(x, y) = 3y \hat{i} + 2x \hat{j}$

$$F_x = 3y$$

$$F_y = 2x$$



$$\Gamma_1 : A \rightarrow C \rightarrow B$$

$$\Gamma_2 : A \rightarrow D \rightarrow B$$

$$W_{AB}_{\Gamma_1} = \int_A^C W_{AC} + W_{CB} = \int_A^C (F_x dx + F_y dy) + \int_C^B F_x dx + F_y dy$$

$$= \int_A^C F_y dy \quad (\text{perche } dx = 0) + \int_C^B F_x dx$$

o anche =  $F_y \Delta y$  con  $F_y = 2x = \text{cost} = 0$

$$= 0 + 3 \cdot 1 = 3 \text{ J}$$

$$W_{AB}_{\Gamma_2} = 0 + 2 \cdot 1 = 2 \text{ J}$$

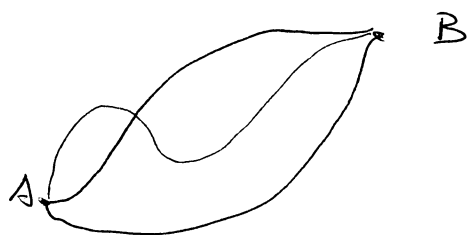
ho risultati diff. per i due percorsi per  $\vec{F}$  dip. solo da posizione

Se avessi avuto  $\vec{F} = \begin{cases} F_x = 3y \\ F_y = 3x \end{cases}$

$$\begin{cases} F_x = 3x \\ F_y = 2y \end{cases}$$

avrei ottenuto ris. uguali per i due percorsi  $A \rightarrow B$  e per qualsiasi perc.  $A \rightarrow B$

Supponiamo di avere  $\vec{F}(x,y)$  f...  
(3)



$W_{AB}$  sia indipendente dal percorso  
comunque lo scelga il percorso

Supponiamo anche che questo valga  
per tutti i punti ~~B~~ dello spazio

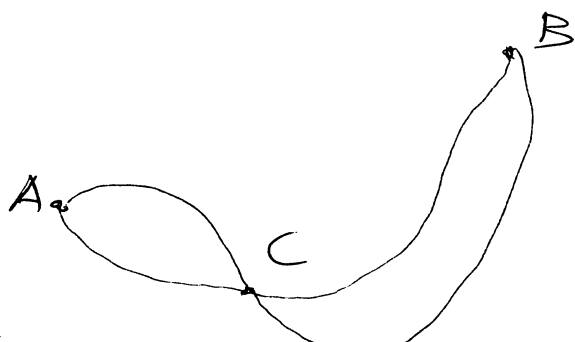
Questo allora mi consente di definire  
una funzione sistere in ogni punto  $B(x,y)$   
dello spazio come:

$$U_A(x,y) = U(B(x,y)) \Leftarrow \int_A^B \vec{F} \cdot d\vec{s} = W_{AB} \text{ (indep. dal percorso)}$$

È una funzione sistere che dip. solo  
della posizione e della mia scelta  
iniziale di A, ho dire di energia (lavoro)

$$[U] = [F] \cdot L = M \cdot L^2 \cdot T^{-2} \text{ (Joule)}$$

Che succede se cambio punto di  
riferimento?  $A \rightarrow C$



$$W_{AB} \neq U_A(B)$$

$$W_{AC} = U_A(C)$$

$$\text{ma } W_{ACB} \neq$$

$$U_A(B) = W_{ACB} = U_A(C) + W_{CB}$$

$$\Rightarrow W_{CB} = U_A(B) - U_A(C)$$

Quindi anche  $W_{CB}$  è univocamente determinato dalla scelta di  $C$  e di  $B$   
allora posso definire

$U_C(B) = W_{CB}$  indip. dal percorso  
~~e rispe~~ e

$$U_C(B) = U_A(B) - U_A(C)$$

Quindi se  $W_{AB}$  è indip. del cammino  $\forall B$  allora:

- Esiste funzione scalare  $U_A(B) = W_{AB}$
- è indip. del cammino anche  $W_{CB}$  per ogni  $C$  e  $B$
- La funzione scalare del punto  $B(x,y)$  è definita a meno di costante che dipende da arbitrarietà di punto di riferimento
  - se cambio riferimento

$$U_C(B) = U_A(B) - U_A(C)$$

Notiamo inoltre che in generale

$$W_{A\beta\Gamma} = \int_A^B \vec{F} \cdot d\vec{s}_q = -W_{\beta A\Gamma} = \int_B^A \vec{F} \cdot d\vec{s}_t$$

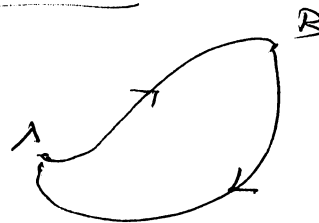
perché ~~dipende~~ in ogni punto di  $\Gamma$  la  $\vec{F}$  è la stessa ma  $d\vec{s} \rightarrow -d\vec{s}$

(5)

Affora se  $W_{AB}$  indip. da  $\Gamma$

$$W_{ABA} = 0$$

lungo qualsiasi  
cammino chiuso per A e B.



• e se  $W_{AB}$  indip. da cammino A-B

affora  $\oint \vec{F} \cdot d\vec{s} = 0$   $\forall$  cammino chiuso  
lungo circuito chiuso

Vale anche il viceversa

- Si dimostra (ho quasi dimostrato) che le ~~tre~~ condizioni

$$1. W_{AB} = \int_A^B \vec{F} \cdot d\vec{s} = U_A(B) \quad \text{non dip. da cammino A-B}$$

$$2. W_O = \oint \vec{F} \cdot d\vec{s} = 0 \quad \forall \text{ cammino chiuso sono equivalenti}$$

Se vogliamo di queste condizioni affora si definisce:

Energia potenziale di  $\vec{F}$  in B

$$V_A(B) = -U_A(B) = \int_A^B \vec{F} \cdot d\vec{s}$$

Le forze che ammettono energia potenziale si dicono forze conservative

Energia potenziale è definita a meno di costante arbitraria

(6)

$\vec{F}(x, y, z) \rightarrow$  vettore

$V(x, y, z) \rightarrow$  scalare ~~definito~~ per come è definita posso aggiungere o togliere costante arbitraria

→ → posso inserire qui p. (8)

se ho  $z = f(x, y)$

posso costruire funzione di 1 variabile

$$g_y(x) = f(x, y=y_0)$$

se questa è derivabile

$$g'_y(x) = \frac{\partial g_y(x)}{\partial x}$$

se questo vale  $V$  ha una varietà funzione di due variabili

$$h(x, y) = g'_y(x) = \frac{\partial f(x, y)}{\partial x} \quad \begin{array}{l} \text{derivata parziale} \\ \text{di } f(x, y) \text{ risp. } x \end{array}$$

analogamente introduco  $\frac{\partial f(x, y)}{\partial y}$

poi, se posso, preseguo

$$\frac{\partial}{\partial x} \left( \frac{\partial f(x, y)}{\partial x} \right) = \frac{\partial^2 f(x, y)}{\partial x^2}$$

$$\frac{\partial}{\partial y} \left( \frac{\partial f(x, y)}{\partial x} \right) = \frac{\partial^2 f(x, y)}{\partial y \partial x}$$

$$\text{ecc.} \quad \dots \quad \frac{\partial^2 f(x, y)}{\partial x \partial y}$$

$$\frac{\partial^2 f(x, y)}{\partial y^2}$$

Visto  $W_{AB} = \int_A^B \vec{F} \cdot d\vec{s} = \Delta E_K = E_K(B) - E_K(A)$

Se  $\vec{F}$  conservativa

$$W_{AB} = U(B) - U(A) = - (V(B) - V(A)) = - \Delta V = \Delta E_K$$

$$\Rightarrow \boxed{\Delta E_K + \Delta V = 0}$$

In presenza di ~~per~~ sole forze conservative  
l'energia meccanica totale  $E_T = E_K + U$   
si conserva

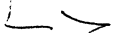
→ Qui occorrono esempi

In presenza di  $F_{n.c.}$  vale in generale

$$\Delta E_K = W_{cons} + W_{n.c.} = - \Delta V + W_{n.c.}$$

$$\boxed{\Delta E_K + \Delta V = W_{n.c.}}$$

Variazione di energia meccanica totale  
= lavoro  $F_{n.c.}$



⑦ Date funzione scalare  $f(x, y, z)$

derivabile, ecc. ecc. introduce operatore vettoriale

gradienze:  $\overrightarrow{\text{grad}} f = \frac{\partial f}{\partial x} \vec{i} + \frac{\partial f}{\partial y} \vec{j} + \frac{\partial f}{\partial z} \vec{k}$   
 $= \vec{\nabla} f(x, y, z)$

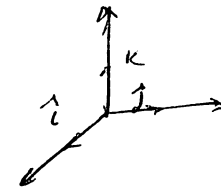
Se forza  $\vec{F}(x, y, z)$  è conservativa allora

$$\vec{F}(x, y, z) = -\vec{\nabla} V(x, y, z)$$

(Varie proprietà di operatore  $\vec{\nabla}$  rimandate  
a statica dei fluidi)

- Si dimostra  $\vec{F}(x, y, z)$  è conservativa se e solo se  $\frac{\partial F_x}{\partial y} = \frac{\partial f_y}{\partial x}$ ,  $\frac{\partial F_z}{\partial x} = \frac{\partial f_z}{\partial x}$ , ecc...  
(si vedrà perché ad analisi II)

• Forza peso  $\vec{F}_p = -mg \hat{k}$

$$\begin{cases} \vec{F}_x = 0 \\ \vec{F}_y = 0 \\ \vec{F}_z = -mg \end{cases}$$


~~Forza~~ tutte le derivate parziali sono nulle, quindi tutte uguali  $\Rightarrow$  è conservativa

$$W_{A \rightarrow B} = \int_A^B \vec{F} \cdot d\vec{s} = \int_{Z_A}^{Z_B} F_z dz = -mg (Z_B - Z_A)$$

$$V_0(z) = - \int_{Z_0}^z \vec{F} \cdot d\vec{s} = mg / (z - z_0)$$

$$h = z - z_0 \Rightarrow V(z) = mg h$$

$\rightarrow$  qui esplicitare  $\vec{F}_p = -\vec{\nabla}(mg / (z - z_0))$

- Forza attrito e  $F_r$  non dip. da  $(x, y, z)$   
 $\Rightarrow$  non cons

- Forza elastica - qs. inf. 13/11 p. 9
  - 1. o.  $\vec{F} = -K \vec{x}$   
 dip. da pos  $\Rightarrow$  cons.
  - 2. o.

$$\begin{aligned} \vec{F} &= -K \vec{r} \\ &= -K(x_i \hat{i} + y_j \hat{j}) \\ \begin{cases} \vec{F}_x = -Kx \\ \vec{F}_y = -Ky \end{cases} \end{aligned}$$

$$\frac{\partial F_x}{\partial y} = 0 = \frac{\partial F_y}{\partial x} \Rightarrow \text{conservativa}$$

Sceglie come rif. l'origine

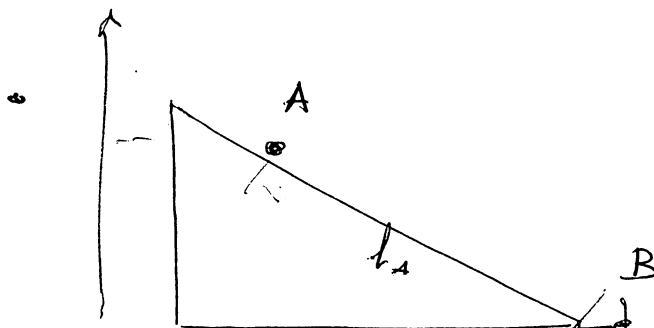
$$W_{0 \rightarrow R} = \int_0^R \vec{F} \cdot d\vec{s} = \int_0^R F(r) dr = -\frac{1}{2} KR^2$$

$$\Rightarrow V(r) = +\frac{1}{2} Kr^2 = +\frac{1}{2} K(x^2 + y^2)$$

$$\frac{\partial V(r)}{\partial x} = kx \quad \frac{\partial V(r)}{\partial y} = ky$$

(10)

$$\Rightarrow \begin{cases} \bar{F}_x = -kx \\ \bar{F}_y = -ky \end{cases}$$



Se ho solo  $\bar{F}_p \rightarrow$  solo  $\bar{F}$  conserv.

$$\Delta E_K + \Delta V = 0$$

$$\Delta E_K = -\Delta V = mg(z_A - z_B) = mg h_A$$

$$\frac{1}{2} m(v_B^2 - v_A^2) = mg h_A$$

$$v_B^2 = z_B g h + v_A^2$$

Se ho anche forze di attrito

$$\Delta E_K + \Delta V = W_{AHR.}$$

ma attenzione, mi fermo ovunque  $v^2 = 0$

$$-W_{AHR} < \Delta V + E_{kin}$$

Se voglio il punto in cui si ferma

$$W_{AHR} = -(\Delta V + E_{kin})$$

$$W_{AB} = \int_A^B \vec{F} \cdot d\vec{s} \text{ inoltre da } \Gamma$$

$$\Leftrightarrow \oint \vec{F} \cdot d\vec{s} = 0$$

$\Rightarrow$  posso definire funzione scalare della posizione  $V(\vec{r})$

$$\tilde{W}_{AB} = - (V(B) - V(A))$$

Si può dimostrare che

$$\vec{F} = -\vec{\nabla} V = -\left( \frac{\partial V}{\partial x} \hat{i} + \frac{\partial V}{\partial y} \hat{j} + \frac{\partial V}{\partial z} \hat{k} \right)$$

Si dimostra che vale anche il viceversa

$$\text{se } \exists V(\vec{r}) \text{ t.c. } \vec{F} = -\vec{\nabla} V(\vec{r})$$

$\Rightarrow \vec{F}$  è conservativa

quello che si vedrà in analisi II

$$\text{che se } \vec{F} = -\vec{\nabla} V$$

$$\begin{aligned} \Rightarrow \vec{F} \cdot d\vec{s} &= \cancel{dt} F_x dx + F_y dy + \cancel{F_z} dz \\ &= \frac{\partial V}{\partial x} dx + \cancel{\frac{\partial V}{\partial y}} dy + \frac{\partial V}{\partial z} dz \\ &= dU \end{aligned}$$

quindi

$$W_{AB} = \int_A^B dU = V(B) - V(A)$$

differenziale esatto

Ma non è questo che interessa ora

— inscrive  
qui es  
tel. p. 9

Statica di particella

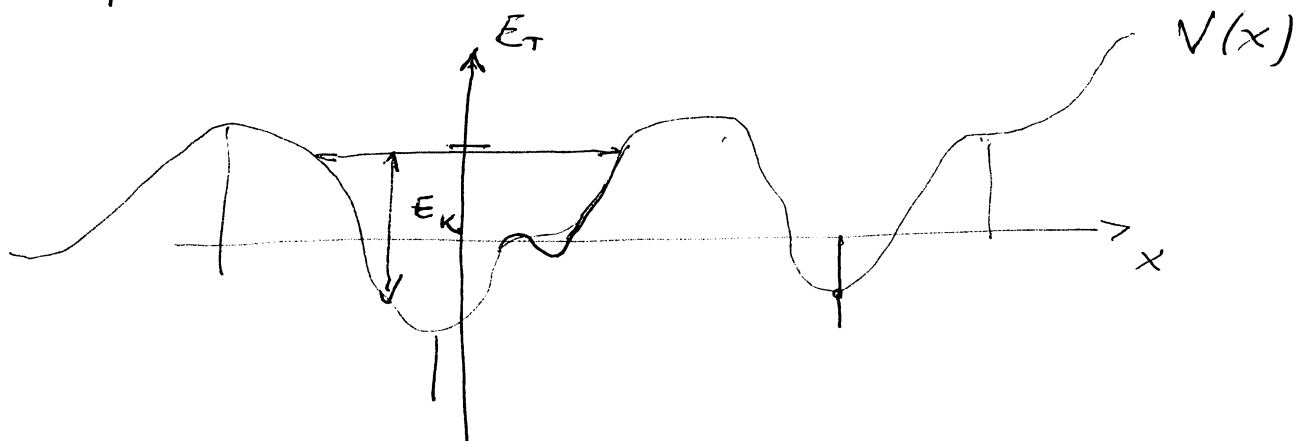
$$\sum \vec{F} = 0$$

Supponiamo che agiscono solo  $\vec{F}$  conservativi  
ma che  $E_{K,u} > 0$

Allora  $E_T = E_K + V = \text{cost.}$  ( $\Delta E_T = 0$ )

I 1-dim posso tracciare grafico

$$E_T - x$$



Max, minimi e flessi ~~sono~~ di  $V(x)$

sono punti in cui  $F_x = 0 = -\frac{dV}{dx}$  equilibrio

tuttavia solo nei minimi ha

equilibrio stabile: se aumento di poco

$E_T$  risp. a  $V_{\min} = V(x_0)$   $E_T = V(x_0) + \delta E$

le forze richiamano part. vs.  $x_0$

(oppure ~~spos~~ può corrispondere a spostamento  
stetico di  $\delta x$ )

$$F(x_0 + \delta x) = -|F| \uparrow = - \left| \frac{dV(x_0 + \delta x)}{dx} \right| \uparrow$$

$$F(x_0 - \delta x) = +|F| \uparrow = + \left| \frac{dV(x_0 - \delta x)}{dx} \right| \uparrow$$

$$\therefore \frac{dV(x_0 + \delta x)}{dx} > 0$$

$$\frac{dV(x_0 - \delta x)}{dx} < 0$$

Afforno a un punto relativo ha

(13)

$$-\frac{dV(x_n)}{dx} = 0 \quad -\text{equilibrio}$$

$$-\frac{dV(x_n + \delta x)}{dx} > 0 \quad F_x > 0 \rightarrow \text{allontanamento da } x_n$$

$$-\frac{dV(x_n - \delta x)}{dx} < 0 \quad F_x(x - \delta x) < 0 \rightarrow \text{allontanamento da } x_n$$



← allontanamento da pos. di equilibrio  $E_K$  aumenta

È interessante punto di minimo  $x_0$

$$\left. \begin{aligned} F(x_0 + \delta x) &= -\frac{dV(x_0 + \delta x)}{dx} < 0 \\ F(x_0 - \delta x) &= -\frac{dV(x_0 - \delta x)}{dx} > 0 \end{aligned} \right\} \begin{array}{l} F \text{ richiama} \\ \text{vs. } x_0 \end{array}$$

Si vedrà verso fine semestre Analisi I

$f(x)$  continua e derivabile finché ~~è~~ a tutti gli ordini in intorno di  $x_0$

$$\begin{aligned} f(x) &= f(x_0) + (x - x_0) f'(x_0) + \frac{1}{2} (x - x_0)^2 f''(x_0) \\ &\quad + \frac{1}{6} (x - x_0)^3 f'''(x_0) + \dots + \frac{1}{n!} f^{(n)}(x_0) (x - x_0)^n \end{aligned}$$

Allora  $V(x)$  allontanata  $V(x)$  in intorno di  $x_0$

$$\begin{aligned} V(x) &= V(x_0) + (x - x_0) \underbrace{\frac{dV(x_0)}{dx}}_{=} + \frac{1}{2} (x - x_0)^2 \underbrace{\frac{d^2V(x_0)}{dx^2}}_{> 0} \\ &\quad + \text{termini ordine sup: } (x - x_0)^n > 0 \end{aligned}$$

In intorno suff. piccolo di posizione  
di equilibrio stabile l'en. potenziale è

$$V(x) = \underbrace{V(x_0)}_{\text{costante}} + \frac{1}{2} \frac{\partial^2 V(x_0)}{\partial x^2} (x - x_0)^2$$

imilie van fx       $k > 0$

è, ~~a meno della costante~~ l'en. potenziale  
di forza elastica con origine in  $x_0$

$\Rightarrow$  particelle in ~~posizione~~ intorno suff.  
piccolo di posizione di equilibrio  
stabile sono soggette a forza elastica  
che le richiama vs. equil.

$\rightarrow$  è quel che succede a pendole  
mi aspetto quindi che penso  
per oscurazioni "piccole" si  
comporti come part. collegata a  
molla

Vediamo equazione del moto in 1-dim

$$F = M \ddot{x}$$

$$M \frac{d^2x}{dt^2} = -Kx$$

$$\frac{d^2x}{dt^2} + \frac{K}{M}x = 0$$

devo trovare  $x(t)$  f.c. la sua derivata seconda sia  $-\frac{K}{M}x(t)$

riscrivo:  $\omega_0^2 = \frac{K}{M}$  (sia  $K$  che  $M$  sono  $> 0$ )

$$\boxed{\frac{d^2x}{dt^2} + \omega_0^2 x(t) = 0}$$

OAS

A parte dover aspettare Analisi II, noto:

- compare  $\frac{d^2x}{dt^2}$  → doppia integrazione  
→ ogni integrazione introduce cost. arb.  
→ sol. generale contiene 2 cost. arb.  
→ costanti arb. unicamente determ.  
da  $\frac{dx(t=0)}{dt} = v_0$   $\& x(t=0) = x_0$
  - ad altre tempi qualiasi
  - equazione è omogenea
  - equazione è lineare
- $\Rightarrow$   
 $\Rightarrow$  se  $x_1(t)$  è sol. c  $x_2(t)$  è sol.  
 $a_1 x_1(t) + a_2 x_2(t)$  è ancora sol.

$$\cos(\omega_0 t + \varphi) \text{ è sol.}$$

$$\frac{d^2}{dt^2} \cos(\omega_0 t + \varphi) = -\omega_0^2 \cos(\omega_0 t + \varphi)$$

così è sol. sen(\omega\_0 t + \varphi)

$$\text{e } A \cos(\omega_0 t + \varphi)$$

in realtà ho già così la sol. + generat.  
cost. arbitrarie  $A, \varphi$

$$\cos(\omega_0 t + \varphi) = \cos \varphi \cos \omega_0 t - \sin \varphi \sin \omega_0 t$$

$$\sin(\omega_0 t + \varphi) = \cos \varphi \sin \omega_0 t + \sin \varphi \cos \omega_0 t$$

posso scrivere sol. <sup>sen</sup> sia nella forma

$$x(t) = A \sin(\omega_0 t + \varphi)$$

costanti arbitr. (cos di ferisce per  
 $\pm \frac{\pi}{2}$  nella costante di fase)

oppure

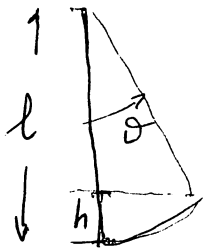
$$x(t) = a \sin \omega_0 t + b \cos \omega_0 t$$

e relazioni fra le due

$$\begin{cases} A^2 = a^2 + b^2 \\ \tan \varphi = \frac{b}{a} \end{cases}$$

# Vediamo pendolo

OAS  
3



$$\text{scelge } V(\theta = 0) = 0$$

$$V(\theta)$$

$$V(h(\theta)) = mg h$$

$$h = l(1 - \cos \theta)$$

$$\cos \theta = 1 - \frac{\theta^2}{2} + O(\theta^4)$$

$$h \approx l \frac{\theta^2}{2}$$

$$\Rightarrow V(\theta) = \frac{1}{2} mg l \theta^2 = \frac{1}{2} mg \frac{(l\theta)^2}{l} \xrightarrow{L^2} \text{qs. ha dim}$$

è en. pot. di osc. arm (come ci aspettavamo)  
con  $K = mg l$

$$\omega_0^2 = \frac{K}{m} = \frac{g}{l}$$

$$x = l\theta$$

$$x(t) = A \sin(\omega_0 t + \varphi)$$

$$l\dot{\theta}(t) = A \omega_0 \cos(\omega_0 t + \varphi) \quad [A] = L$$

$$\dot{\theta}(t) = a \sin(\omega_0 t + \varphi) \quad [a] = 1$$

di solito pendolo si risolve con  $F(\theta)$   
qui fatto con  $V(l\theta)$  e sol. gen. di oscill.  
armmico

Supponiamo che in  $t=0$   $\dot{\theta}(0) = \dot{\theta}_0$

$$\frac{d\theta}{dt}(0) = 0$$

$$\Rightarrow a \sin \varphi = \dot{\theta}_0$$

$$\left| \omega_0 a \cos \varphi = 0 \right. \Rightarrow \varphi = \pm \frac{\pi}{2} \quad \begin{array}{l} a = \dot{\theta}_0 \\ a = -\dot{\theta}_0 \end{array}$$

$$x(t) = \dot{\theta}_0 \cos \omega_0 t = -\dot{\theta}_0 \cos(\omega_0 t - \frac{\pi}{2})$$

$x(t) = A \sin(\omega_0 t + \varphi)$  è sol. generale  
 "condizioni iniziali" determinano  
 costanti arbitrarie

$$x(0) = x_0 \Rightarrow A \sin \varphi = x_0 \quad \sin \varphi = \frac{x_0}{A}$$

$$\frac{dx(0)}{dt} = v_0 \Rightarrow \omega_0 A \cos \varphi = v_0 \quad \cos \varphi = \frac{v_0}{A \omega_0}$$

$$\tan \varphi = \frac{x_0 \omega_0}{v_0}$$

$$\underbrace{\left| A = \frac{x_0}{\sin \varphi} \right|}_{\text{non funziona per } x_0 = 0} \quad \sin \varphi = \frac{\tan \varphi}{\sqrt{1 + \tan^2 \varphi}}$$

non funziona per  $x_0 = 0$

Se  $x_0 = 0$  e  ~~$v_0 \neq 0$~~   $v_0 \neq 0$

$$\tan \varphi = 0 \Rightarrow \varphi = 0$$

$$A \omega_0 = v_0 \quad A = \frac{v_0}{\omega_0}$$

Ridefinendo origine dei tempi:

$$x(t) = A \sin(\omega_0 t + \varphi)$$

$$t' = t + t_0$$

$$\omega_0 t' = \omega_0 t + \omega_0 t_0 \quad \omega_0 t = \omega_0 t' - \omega_0 t_0$$

$$t_0 = \frac{\varphi}{\omega_0}$$

$$x(t') = A \sin \omega_0 t'$$

poi  $t'$  è nulla - - -

$$x(t) = A \sin \omega_0 t$$

è funzione periodica

$$x(t+T) = x(t)$$

$$T = \frac{2\pi}{\omega_0} \quad \underline{\text{periodo}}$$

$\omega_0$  pulsazione (frequenza angolare)

$$\nu = \frac{1}{T} = \frac{\omega_0}{2\pi} \quad \text{frequenza}$$

con  $\varphi = 0$  ha max  $t = T/4$  (poi ripetuto ogni  $T$ )

$$\min t = \frac{3}{4} T \quad "$$

$$\text{zeri } t = 0, \frac{T}{2}, \dots$$

(la  $\ddot{x}$  è  $\neq$ ) OAS (6)  
 Energia dell' oscillatore

$$x(t) = A \sin \omega_0 t$$

$$V(t) = \frac{1}{2} K x(t)^2 = \frac{1}{2} K A^2 \sin^2 \omega_0 t = \frac{1}{2} m \omega_0^2 A^2 \sin^2 \omega_0 t$$

$$E_k(t) = \frac{1}{2} m v(t)^2 = \frac{1}{2} m \omega_0^2 A^2 \cos^2 \omega_0 t$$

$$= \frac{1}{2} m \omega_0^2 \cos^2 \omega_0 t$$

$$E_T = E_k(t) + V(t) = \frac{1}{2} m \omega_0^2 A^2 = \frac{1}{2} m K^2$$

$E_T$  non dip. da  $t$ ; giusto:  $E_T$  conservata

Nota:  $\sin^2 \omega_0 t, \cos^2 \omega_0 t$  hanno periodo

$$T_2 = \frac{T}{2} = \frac{\pi}{\omega_0}$$

$$\langle V(t) \rangle \stackrel{\text{def}}{=} \frac{1}{T} \int_0^{T/2} V(t) dt$$

$$= \frac{2}{T} \int_0^{T/2} \frac{1}{2} K A^2 \sin^2 \omega_0 t dt$$

$$= \frac{1}{\pi} \int_0^{\pi} \frac{1}{2} K A^2 \sin^2 x dx$$

Ho sostituito  $x = \omega_0 t$   
 $dt = \frac{dx}{\omega_0}$        $\omega_0 T = 2\pi$

ricordando:  $\int \sin^2 x dx = \frac{x}{2} - \frac{\sin 2x}{4}$

$$\langle V(t) \rangle = \frac{1}{\pi} \int_0^{\pi} \frac{1}{2} K A^2 \sin^2 x dx = \frac{1}{2} K A^2 \cdot \frac{1}{2} = \frac{1}{2} E_T = \langle E_k(t) \rangle$$

ad Analsi - II si imparerà che sol.

nel piano complesso sono del tipo:  $x(t) = e^{\alpha t}$   
con  $\alpha$  complesso

sostituisco

$$\alpha^2 e^{\alpha t} + \omega_0^2 e^{\alpha t} = 0 \quad \forall t$$

allora  $\alpha$  è determinata da

$$\alpha^2 + \omega_0^2 = 0 \quad \alpha = \pm i\omega_0$$

due sol:  $x_1(t) = e^{-i\omega_0 t} = \cos \omega_0 t -$   
 $x_2(t) = e^{+i\omega_0 t}$

sol. generale è

$$x(t) = A_1 x_1(t) + A_2 x_2(t)$$

oltre le due cost. arbit.

ma ora complesse

$$= A_1 \cos \omega_0 t - i A_1 \sin \omega_0 t$$

$$+ A_2 \cos \omega_0 t + i A_2 \sin \omega_0 t$$

$$= (A_1 + A_2) \cos \omega_0 t + i(A_2 - A_1) \sin \omega_0 t$$

ma voglio  $x(t)$  reale

$$\begin{cases} \operatorname{Im}(A_1 + A_2) = 0 \\ \operatorname{Re}(A_2 - A_1) = 0 \end{cases}$$

$$\Rightarrow \begin{cases} A_1 = a + ib \\ A_2 = a - ib \end{cases}$$

$$x(t) = 2a \cos \omega_0 t + 2b \sin \omega_0 t$$

non ho imparato nulla, ho solo sviluppato un po' di formalismi che utilizzerò poi

Ora studio effetto di  
forza di attrito viscoso

OAS (8)

$$\text{forza di attrito viscoso} \quad F_v = -\gamma v$$

$$F_v = -\gamma \frac{dx}{dt}$$

Riscrivo eq. della dinamica

$$m \frac{d^2x}{dt^2} + \gamma \frac{dx}{dt} + Kx = 0$$

è ancora lineare e omogenea

$$\frac{d^2x}{dt^2} + \frac{\gamma}{m} \frac{dx}{dt} + \omega_0^2 x = 0$$

$$\omega_0^2 = \frac{K}{m} \quad \gamma = \frac{\gamma}{m}$$

provo il "trucco" appena visto di sol. compl.

$$x(t) = e^{\alpha t}$$

$$\alpha^2 e^{\alpha t} + \gamma \alpha e^{\alpha t} + \omega_0^2 e^{\alpha t} = 0 \quad \forall t$$

eq. caratteristica

$$\alpha^2 + \gamma \alpha + \omega_0^2 = 0$$

$$\alpha_{1,2} = -\frac{\gamma}{2} \pm \sqrt{\frac{\gamma^2}{4} - \omega_0^2}$$

Si distinguono 3 casi

$$1. \frac{\gamma^2}{4} - \omega_0^2 < 0 \rightarrow \text{oszill. sottermoz.}$$

$$2. \frac{\gamma^2}{4} - \omega_0^2 > 0 \rightarrow \text{oszill. sovrasenz.}$$

$$3. \frac{\gamma^2}{4} - \omega_0^2 = 0 \rightarrow \text{oszill. criticamente snorzato}$$

Caso 1.

CAS (9)

è il più interessante per la fisica  
(e corrisponde anche al precedente visto)

$$x_{1,2} = -\frac{\gamma}{2} \pm i\omega' \quad \omega'^2 = \omega_0^2 - \frac{\gamma^2}{4} < \omega_0^2$$

(lungo  $\sim \omega_0^2$ )

$$x_1(t) = e^{-\frac{\gamma}{2}t} \cdot e^{i\omega't}$$

$$x_2(t) = e^{-\frac{\gamma}{2}t} \cdot e^{-i\omega't}$$

$$x(t) = e^{-\frac{\gamma}{2}t} \left( A_2 e^{i\omega't} + A_1 e^{-i\omega't} \right)$$

su q.s. riprende discorso di p. (7)  
voglio  $x(t)$  reale ecc ...

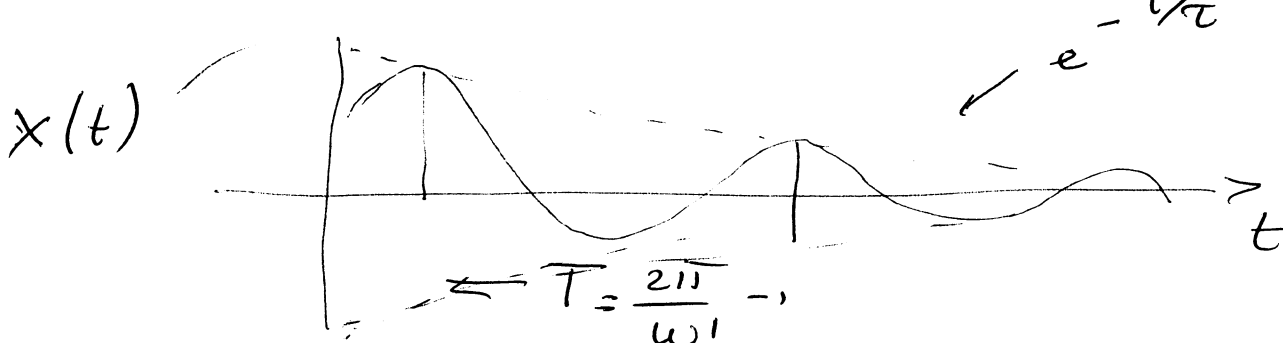
Quindi soluzione generale è

$$\begin{aligned} x(t) &= e^{-\frac{\gamma}{2}t} / (a \cos \omega't + b \sin \omega't) \\ &= A e^{-\frac{\gamma}{2}t} \sin(\omega't + \varphi) \end{aligned}$$

- $A \sin(\omega't + \varphi)$  è la solita sinusoidale con  $A$  e  $\varphi$  det. da condizioni iniziali e  $\omega'$  al posto di  $\omega_0$ .

- $e^{-\frac{\gamma}{2}t}$  è esponenziale decrescente posso porme  $\frac{\gamma}{2} = \frac{1}{T}$   $[T] = T^{-1}$   

$$e^{-\frac{\gamma}{2}t} = e^{-\frac{t}{T}}$$



case 2 solfason

$$\begin{aligned}\alpha_{1,2} &= -\frac{\gamma}{2} \pm \sqrt{\frac{\gamma^2}{4} - \omega_0^2} \\ &= -\frac{\gamma}{2} \left( 1 \mp \sqrt{1 - \frac{4\omega_0^2}{\gamma^2}} \right) = \begin{cases} -\frac{\gamma_1}{2} \\ -\frac{\gamma_2}{2} \end{cases}\end{aligned}$$

per  $\frac{\gamma^2}{4} \approx \omega_0^2$  ho  $\gamma_1 \approx \gamma_2 \approx \gamma$   
con  $\gamma_1 < \gamma_2$

e definendo  $\tau_1 = \frac{2}{\gamma_1}$ ,  $\tau_2 = \frac{2}{\gamma_2}$ ,  $\tau_1 > \tau_2$

$$x(t) = a_1 e^{-t/\tau_1} + a_2 e^{-t/\tau_2}$$

all' aumentare di  $\gamma$ :  $\gamma_1$  diminuisce  
 $\gamma_2$  aumenta

$\tau_1$  aumenta

$\tau_2$  diminuisce

quindi ho somma di due esponentiali,  
per tempi suff. lunghi

$a_1 e^{-t/\tau_1}$  diminua

e  $\tau_1$  aumenta all'aumentare  
di  $\gamma$

caso 3

OAS

(11)

$$\omega_0^2 = \frac{\gamma^2}{4}$$

$$\alpha_1 = \alpha_2 = -\frac{\gamma}{2}$$

analisi II mi dà che ho sol.

$$e^{-\frac{\gamma}{2}t}, te^{-\frac{\gamma}{2}t} \quad \left( \begin{array}{l} \text{provarc a} \\ \text{sostituire} \end{array} \right)$$
$$x(t) = A e^{-\frac{\gamma}{2}t} (1 + \delta t)$$

$$\tau = \frac{2}{\gamma}$$

qui  $\gamma_1 < \gamma < \gamma_c$

quindi  $\tau_1 > \tau > \tau_2$

- la sol. decresce esp. con costante di tempo  $\tau = \frac{2}{\gamma}$
- è quella che decresce più velocemente tra quelle viste, tenute conto che  $\gamma_{settegm} < \gamma_{critico}$